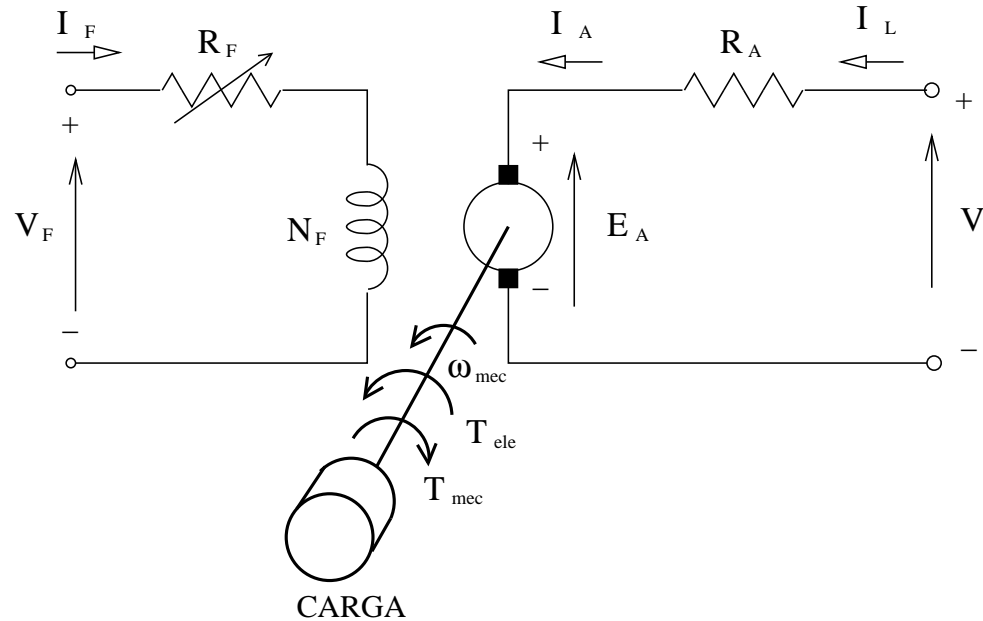


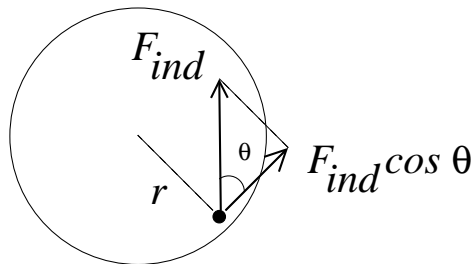
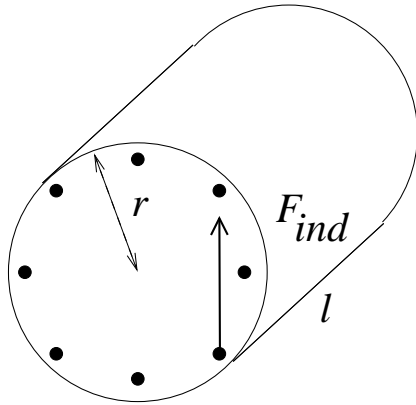
Motores de Corrente Contínua:



Máquina CC operando como MOTOR:

1. Inicialmente a máquina se encontra em **repouso** ($\omega_m = 0$);
2. Alimenta-se o **circuito de campo** da máquina ($\phi \neq 0$);
3. Alimenta-se o **circuito de armadura** a partir de uma fonte de tensão independente:

$$I_a = \frac{V_t}{R_a}$$



4. Cada **condutor da armadura** é percorrido por $i = \left(\frac{I_a}{a} \right) \Rightarrow \boxed{F_{ind} = iBl}$;
5. O torque induzido em cada condutor é calculado por:

$$\tau = F_{ind} r \sin \theta$$

6. O **torque induzido** nos condutores faz a armadura entrar em movimento ($\omega_m > 0$).

$$\tau_{ind} = k_t \phi I_a$$

onde $k_t = \frac{Zp}{2\pi a}$

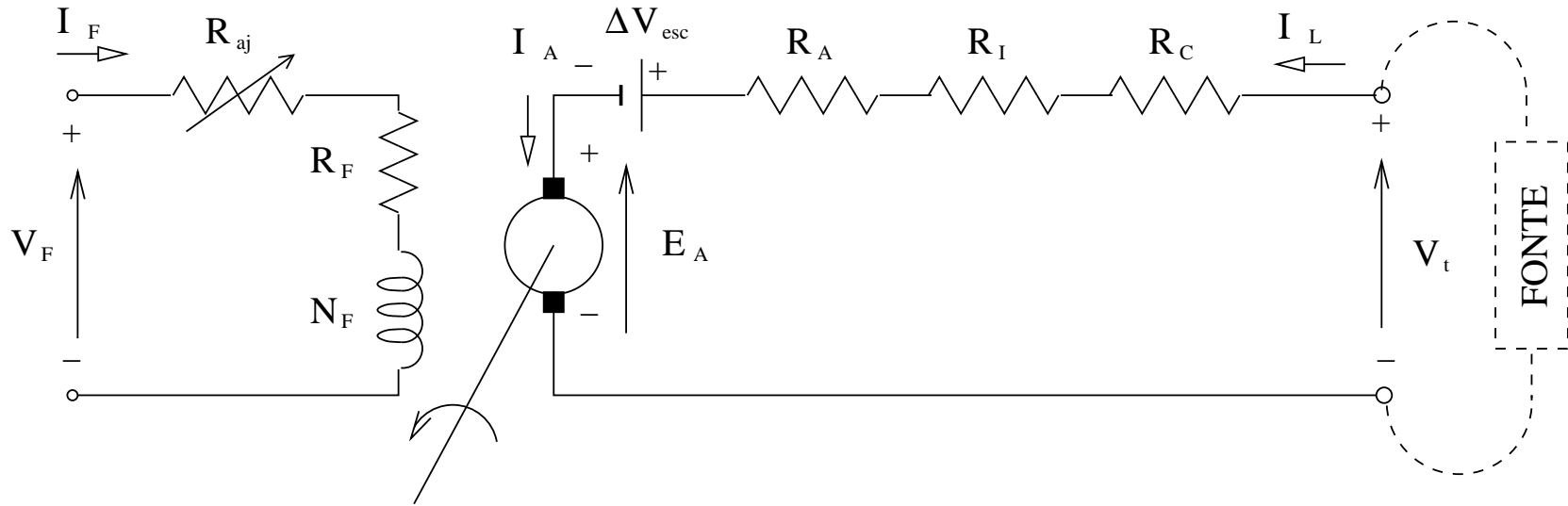
7. A força contra-eletromotriz induzida na armadura ($E_a = k_e \phi \omega_m$) limita a corrente da máquina:

$$I_a = \frac{V_t - E_a}{R_a}$$

Tipos de motores CC:

1. Motor CC com excitação independente
2. Motor CC *Shunt* (em Derivação)
3. Motor CC Série
4. Motor CC Composto
 - Aditivo ou cumulativo (curto ou longo)
 - Subtrativo ou diferencial (curto ou longo)
5. Motor CC de Ímãs permanentes
6. Motor CC sem escovas (*Brushless DC Motor*)

Motor CC com excitação independente:



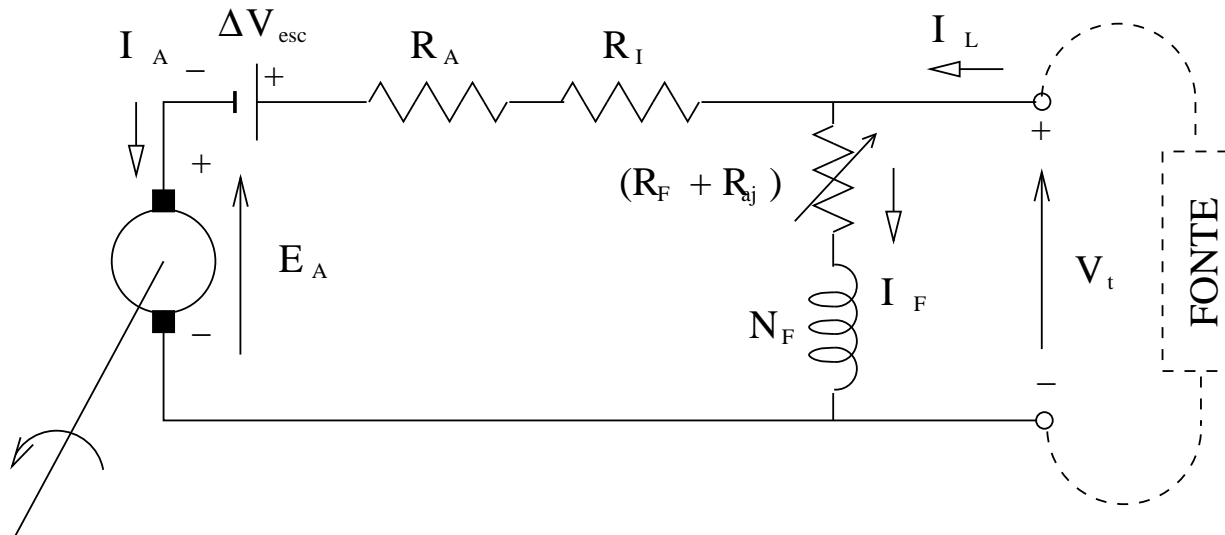
Circuito de campo:

$$\begin{cases} V_f = (R_{aj} + R_f) I_f \\ \mathcal{F}mm = N_f I_f \end{cases}$$

Circuito de armadura:

$$\begin{cases} I_a = I_L \\ V_t = E_a + (R_a + R_i + R_c) I_a + \Delta V_{esc} \\ E_a = k_e \phi \omega_m \\ \tau_{ele} = k_t \phi I_a \end{cases}$$

Motor CC Shunt:



Circuito de campo:

$$\begin{cases} V_t = V_f = (R_{aj} + R_f) I_f \\ \mathcal{F}mm = N_f I_f \end{cases}$$

Circuito de armadura:

$$\begin{cases} I_a = I_L - I_f \\ V_t = E_a + (R_a + R_i) I_a + \Delta V_{esc} \\ E_a = k_e \phi \omega_m \\ \tau_{ele} = k_t \phi I_a \end{cases}$$

Característica terminal do Motor Shunt:

- Desprezando as perdas no motor CC tem-se que:

$$\tau_{ele} = (\tau_{carga} + \tau_{perdas}) \approx \tau_{carga}$$

- Desprezando as quedas de tensão nas escovas e no enrolamento de interpólo tem-se:

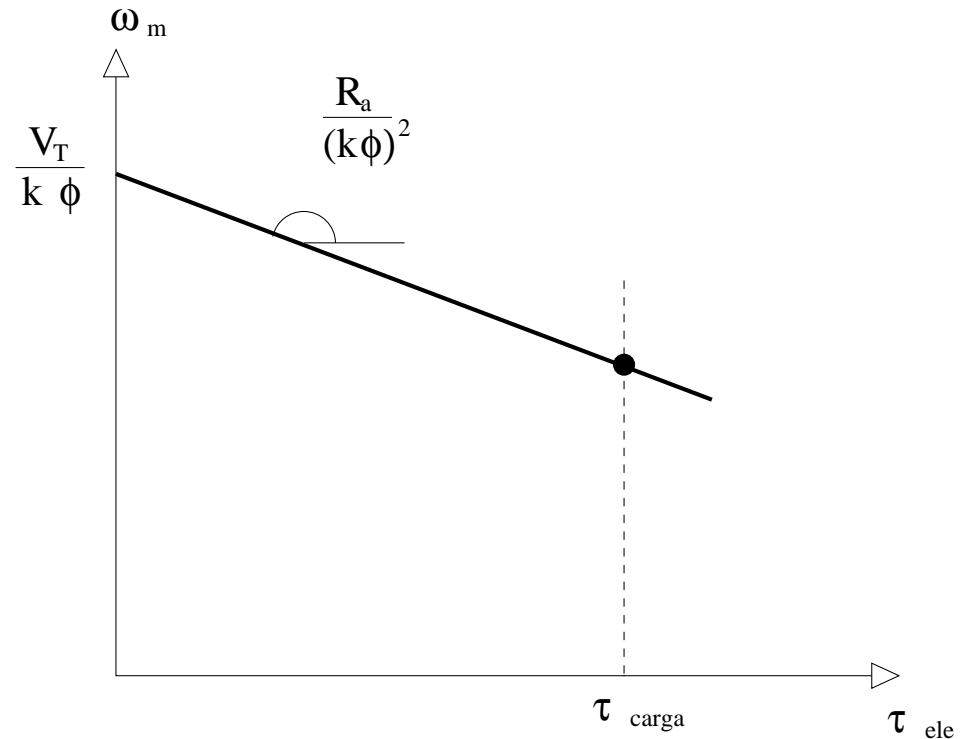
$$V_t = E_a + R_a I_a \quad (1)$$

$$E_a = k_e \phi \omega_m \quad (2)$$

$$\tau_{ele} = k_t \phi I_a \rightarrow I_a = \frac{\tau_{ele}}{k_t} \quad (3)$$

- Substituindo (3) e (2) em (1) tem-se:

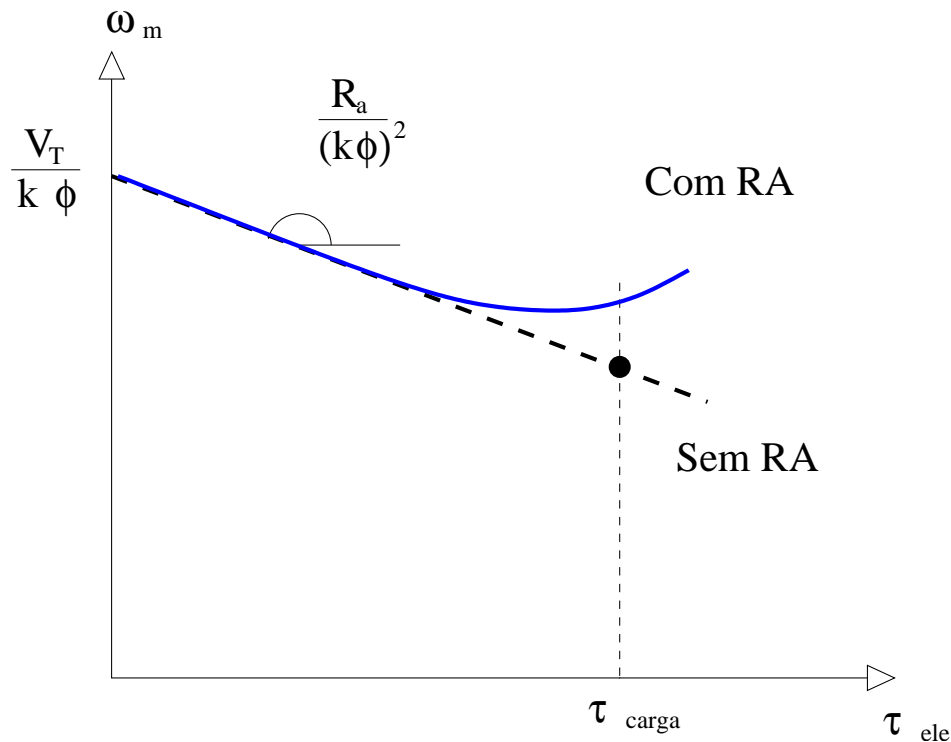
$$\omega_m = \frac{V_t}{k\phi} - \frac{R_a}{(k\phi)^2} \tau_{ele}$$



$$\rho_{\omega} (\%) = \frac{(\omega_{vazio} - \omega_{plena carga})}{\omega_{plena carga}} 100$$

onde ω é constante.

- A REAÇÃO DA ARMADURA enfraquece o fluxo polar;
- O enfraquecimento de ϕ diminui a amplitude da tensão induzida E_a forçando o aumento da corrente I_a , do torque τ_{ele} e conseqüentemente da velocidade do motor



Controle de velocidade de Motores Shunt

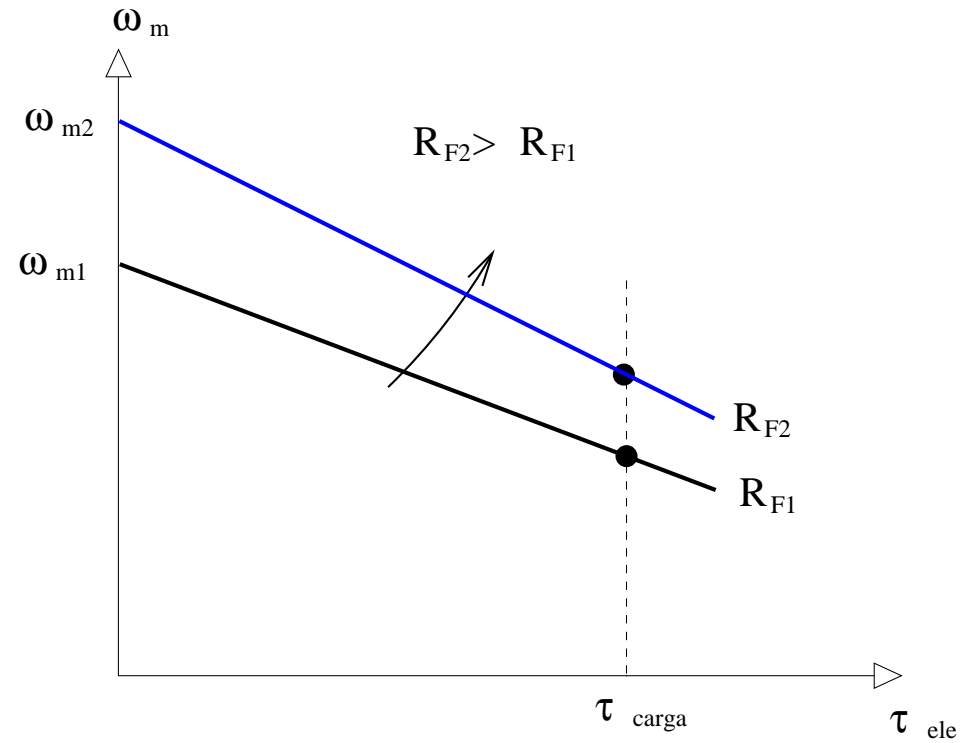
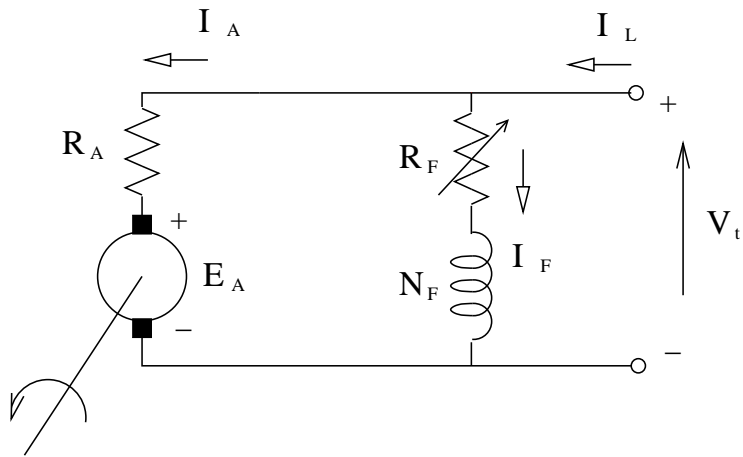
● Da observação de

$$\omega_m = \frac{V_t}{k\phi} - \frac{R_a}{(k\phi)^2} \tau_{ele}$$

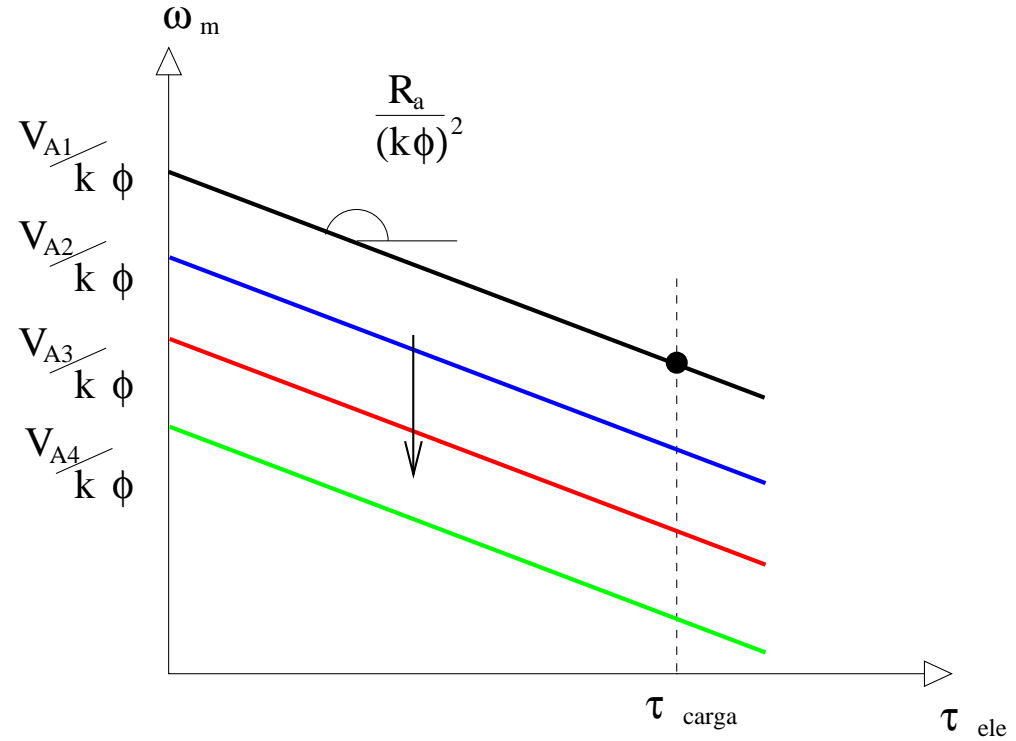
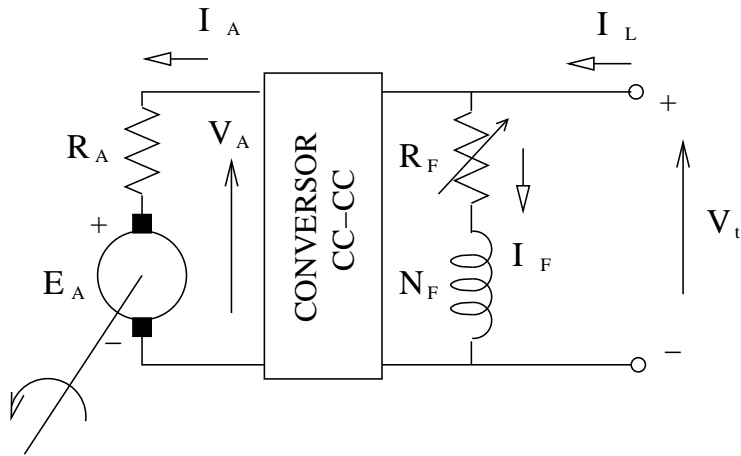
pode-se derivar três estratégias de controle para o motor CC.

1. Variação do fluxo magnético (ϕ) produzido no campo através do ajuste da resistência (R_{aj});
2. Variação da tensão de alimentação da armadura (V_a);
3. Conexão de uma resistência adicional em série com o circuito da armadura (R_{ad});

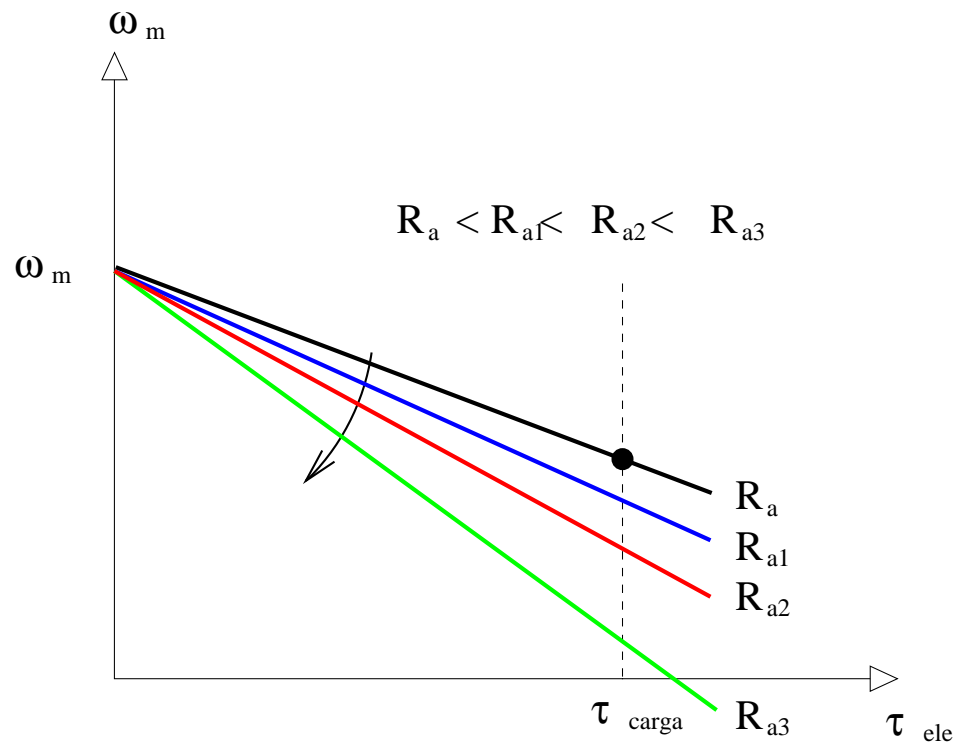
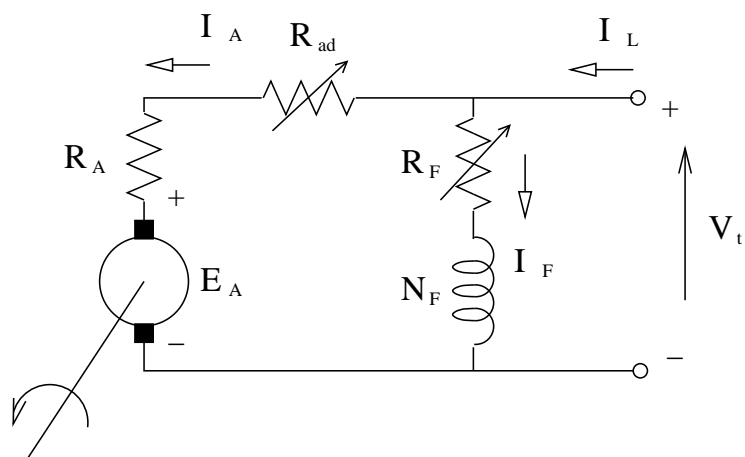
Variação do fluxo magnético (ϕ):



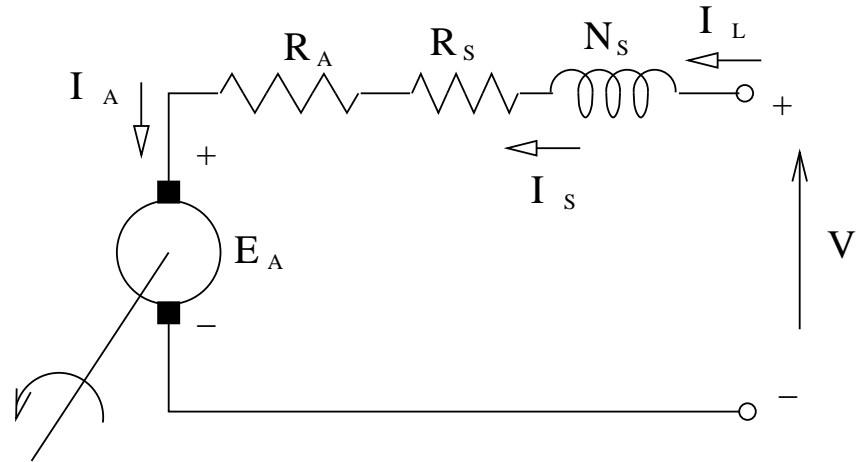
Variação da tensão de armadura (V_a):



Variação da resistência de armadura (R_{ad})



Motor CC série:



Circuito de armadura:

$$\left\{ \begin{array}{l} I_a = I_L = I_s \\ V_t = E_a + (R_a + R_s) I_a \\ E_a = k_e \phi_s \omega_m \\ \tau_{ele} = k_t \phi I_a \end{array} \right.$$

Circuito de campo:

$$\left\{ \begin{array}{l} \phi_s \propto I_a \rightarrow \phi_s = k_1 I_a \\ \tau_{ele} = k_t \phi_s I_a = k_t (k_1 I_a) I_a \\ \tau_{ele} = k'_t I_a^2 \end{array} \right.$$

Característica terminal do Motor Série:

● Como $k_e = k_t = k$ no SI tem-se:

$$\tau_{ele} = k' I_a^2 \rightarrow I_a = \sqrt{\frac{\tau_{ele}}{k'}}$$

e,

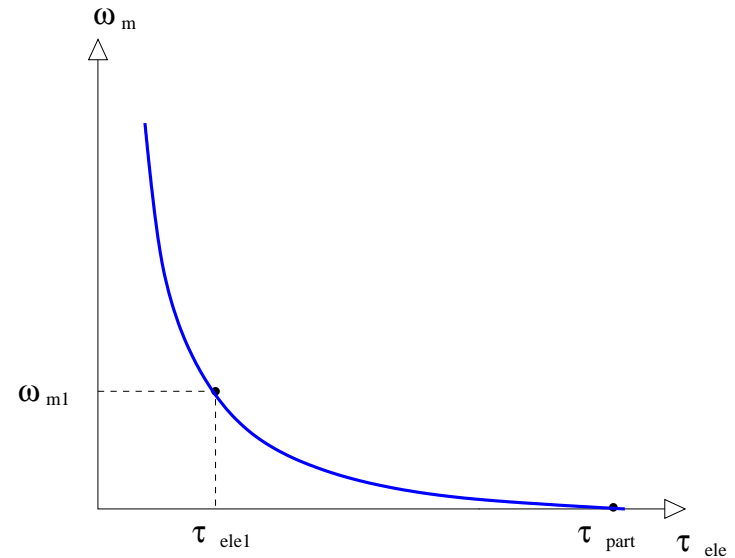
$$E_a = k\phi\omega_m$$

● Substituindo as expressões acima em $V_t = E_a + (R_a + R_s) I_a$ tem-se:

$$\begin{aligned} V_t &= k\phi\omega_m + (R_a + R_s) \sqrt{\frac{\tau_{ele}}{k'}} \\ &= k(k_1 I_a) \omega_m + (R_a + R_s) \sqrt{\frac{\tau_{ele}}{k'}} \end{aligned}$$

● Reescrevendo a equação anterior explicitando ω_m tem-se:

$$\omega_m = \frac{V_t}{k' \sqrt{\tau_{ele}}} - \frac{R_a + R_s}{k'}$$

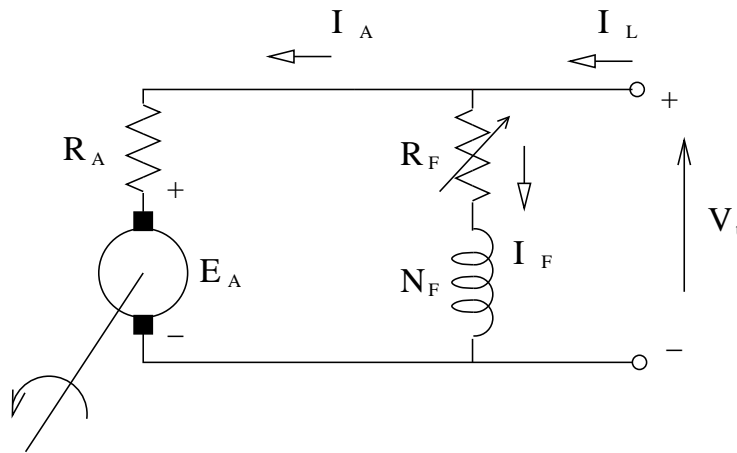


para $\omega_m = 0$,

$$\tau_{part} = k' \left(\frac{V_t}{R_a + R_s} \right)^2$$

Partida de motores cc

- A corrente dos motores CC durante a partida é limitada apenas pela resistência da armadura R_a .



Na partida $\omega = 0$, logo

$$E_a = k\phi\omega = 0$$

\Downarrow

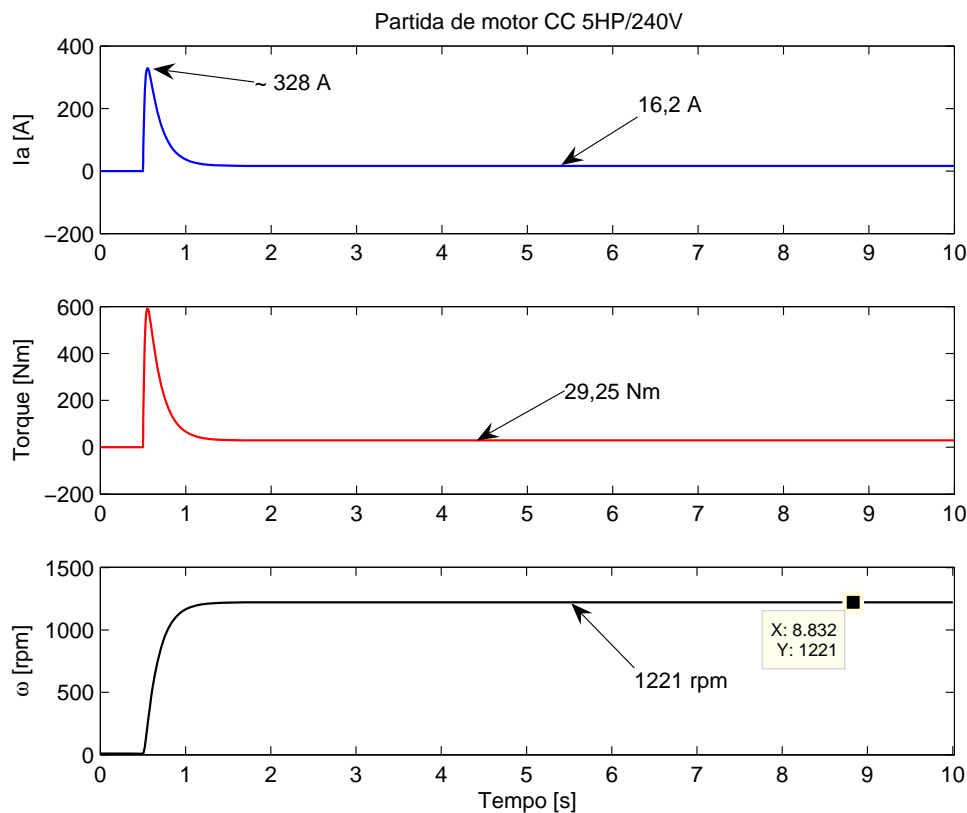
$$I_a = \frac{V_t - E_a}{R_a}$$

\Downarrow

$$\boxed{I_a = \frac{V_t}{R_a}}$$

- A corrente de partida dos motores CC pode chegar até a $30 \times I_{a_{nominal}}$

- A medida que o motor acelera a tensão E_a cresce forçando a corrente I_a diminuir.



Exemplo:

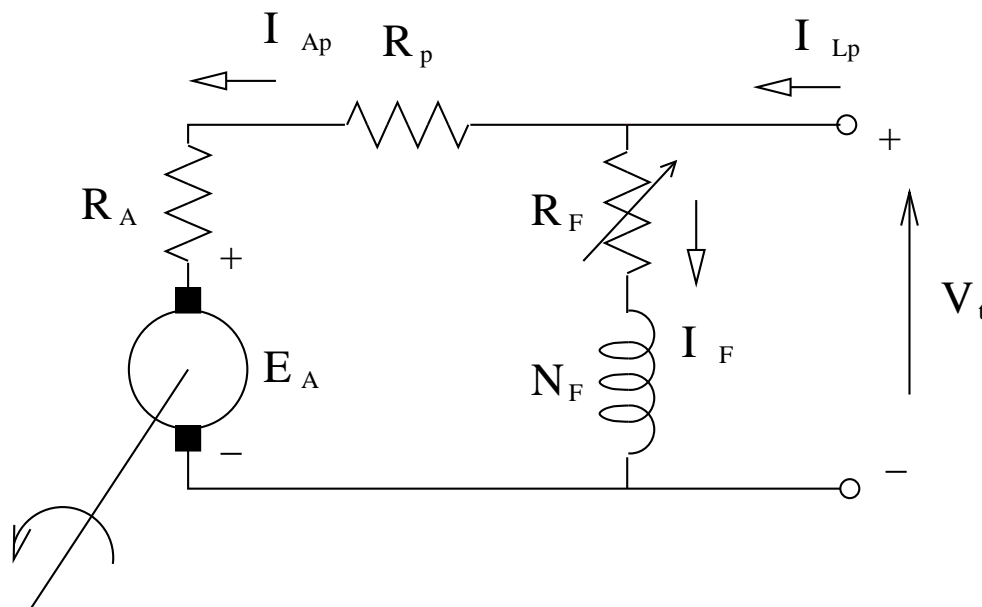
Motor CC independente

$$\left\{ \begin{array}{l} 5HP/240V \\ I_{a_{nominal}} = 16,2A \\ R_a = 0,73\Omega \\ R_f = 240\Omega \end{array} \right.$$

Para este motor

$$I_a = \frac{V_t}{R_a} = \frac{240V}{0,73} \approx 330A$$

- Para limitar a corrente de partida podemos projetar um resistor R_p para ser inserido em série com a armadura.



Como exemplo suponha que deseja-se uma corrente de partida ser menor que 210 % da nominal

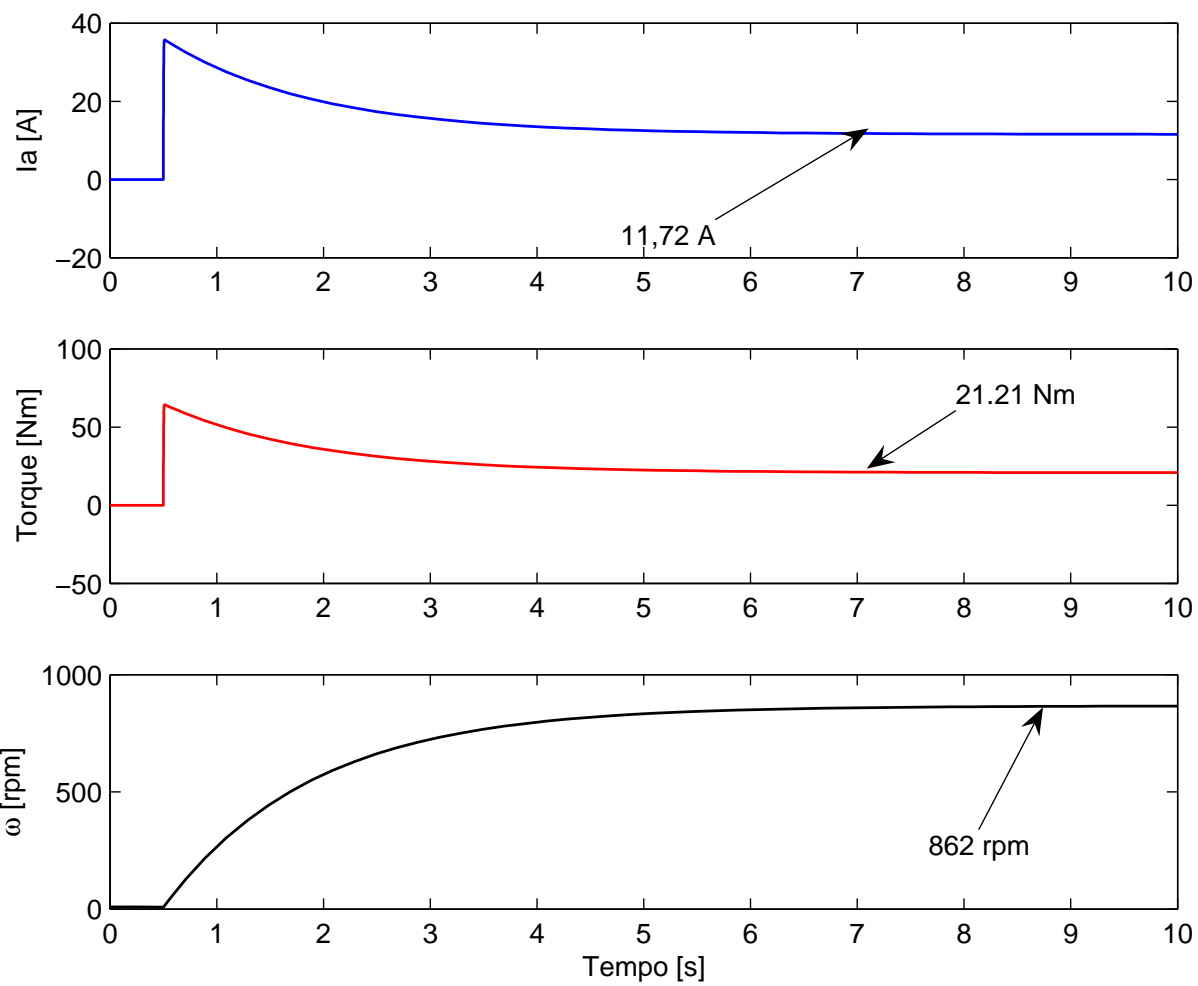
$$I_{ap} \leq 210\% I_{a_{nominal}} = 34A$$

$$I_{ap} = \frac{V_t}{R_a + R_p} \leq 34A$$

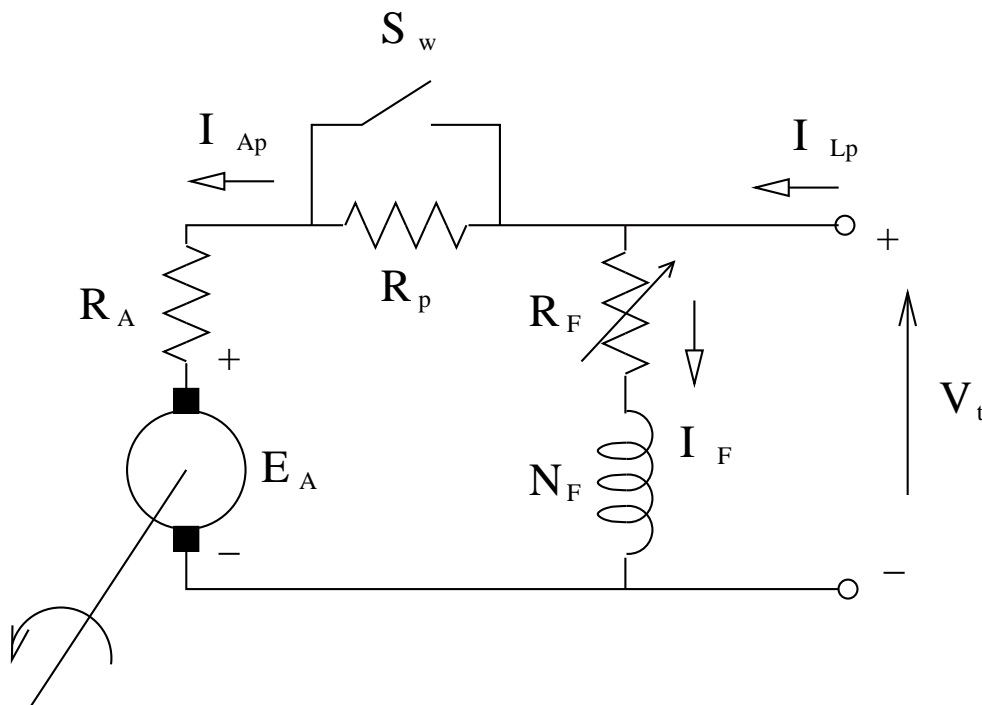
$$R_p \geq \frac{240V}{34A} - 0,73\Omega = 6,33\Omega$$

Desvantagens:

- Perdas elevadas;
- Corrente e velocidade não atingem o valor nominal

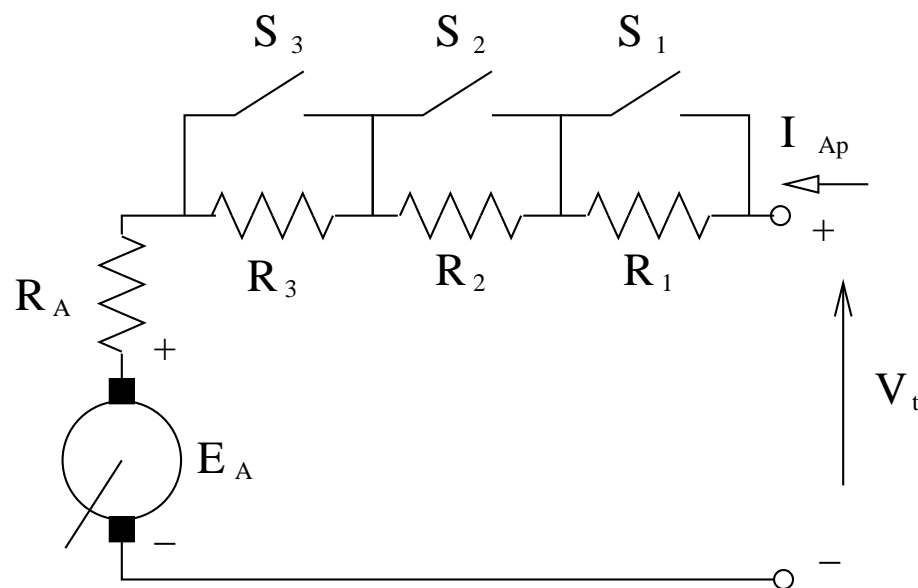
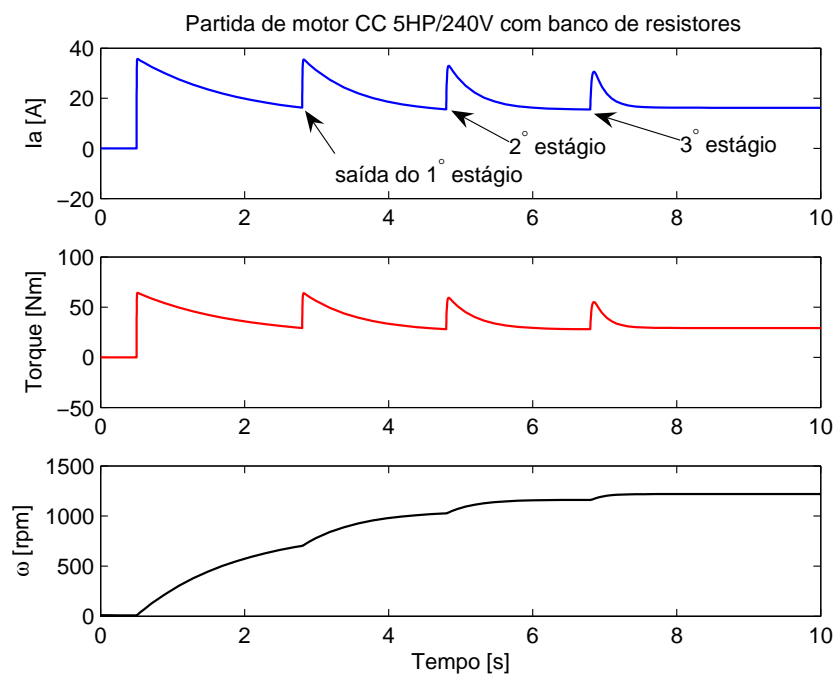


- Para resolver o problema anterior pode-se colocar uma chave em paralelo com o resistor R_p .
- Essa chave S_w é fechada depois de um tempo e fornece um caminho para a corrente da armadura.



- Contudo depois que a chave S_w é fechada como a velocidade e a tensão E_a não são nominais a corrente de armadura sofre um outro pico (que geralmente é elevado também)

- Contudo o resistor R_p pode ser dividido em n estágios os quais são retirados a medida que o motor acelera.



Metodologia de cálculo dos resistores:

1. Projeta-se o resistor R_p para que a corrente de partida ou o torque não sejam superior a um valor máximo especificado pelo projeto

$$I_{a_p} \leq I_{a_{máx}} \quad \text{ou,} \quad \tau_p \leq \tau_{máx}$$

2. O resistor R_p é então dividido em n -estágios

$$R_p = R_1 + R_2 + R_3 + \dots + R_p$$

3. Considerando que a resistência $R_p = R_1 + R_2 + R_3 + \dots + R_n$ está totalmente inserida no circuito de armadura tem-se que a corrente de partida é menor que $I_{a_{máx}}$ e pode-se escrever a seguinte equação:

$$V_t = E_a + R_a I_{a_{máx}} + (R_1 + R_2 + R_3 + \dots + R_n) I_{a_{máx}} + \Delta V_{esc}$$

$$= E_a + (R_1 + R_2 + R_3 + \dots + R_n + R_a) I_{a_{máx}} + \Delta V_{esc}$$

$$V_t = E_a + R_{tot} I_{a_{máx}} + \Delta V_{esc} \quad (4)$$

4. A medida que o motor acelera ω a tensão E_a cresce e a corrente I_a diminui. Quando o valor da corrente da armadura chega a um limite mínimo $I_{a_{mín}}$ pode-se reescrever (4) como:

$$V_t = E_a + R_{tot} I_{a_{mín}} \quad (5)$$

5. Neste instante fecha-se a chave S_1 . O resistor R_1 é retirado do circuito e a corrente do motor volta a crescer. Contudo a mesma deve ser menor que $I_{a_{mín}}$. Desse modo, considerando $R_{tot,1} = R_2 + R_3 + \dots + R_n + R_a$, tem-se:

$$V_t = E_a + R_{tot,1} I_{a_{máx}} \quad (6)$$

6. Igualando (5) e (6) tem-se:

$$E_a + R_{tot} I_{a_{mín}} = E_a + R_{tot,1} I_{a_{máx}} \quad (7)$$

$$R_{tot,1} = \left(\frac{I_{a_{mín}}}{I_{a_{máx}}} \right) R_{tot} \quad (8)$$

6. Aplicando essa metodologia sucessivamente tem-se que a resistência depois de retirado o n -ésimo estágio é dada por:

$$R_{tot,n} = R_a = \left(\frac{I_{a_{mín}}}{I_{a_{máx}}} \right)^n R_{tot} \quad (9)$$

Ou seja,

$$n = \frac{\left(\frac{R_a}{R_{tot}} \right)}{\left(\frac{I_{a_{mín}}}{I_{a_{máx}}} \right)}$$

7. As resistências de cada estágio podem ser facilmente calculadas resolvendo o sistema:

$$\left\{ \begin{array}{l} R_1 + R_2 + R_3 + \dots + R_n + R_a = R_{tot} = (R_p + R_a) \\ R_2 + R_3 + \dots + R_n + R_a = R_{tot,1} \\ R_3 + \dots + R_n + R_a = R_{tot,2} \\ \dots\dots\dots \\ R_a = R_{tot,n} \end{array} \right. \quad (10)$$

Rendimento e perdas nos motores cc:

1. Perdas no COBRE:

(a) na armadura $\Rightarrow R_a I_a^2$

(b) no campo $\Rightarrow (R_{aj} + R_f) I_f^2$

2. Perdas no FERRO:

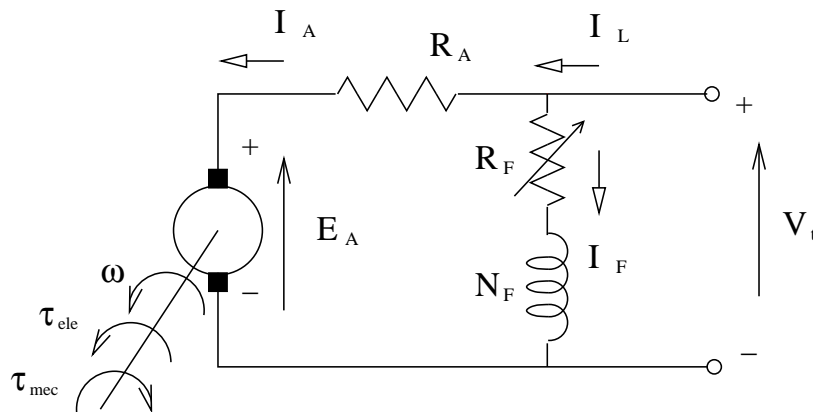
(a) por histerese;

(b) por correntes parasitas (corrente de Foucault)

3. Perdas no MECÂNICAS (atrito e ventilação):

4. Perdas nas ESCOVAS $\Rightarrow \Delta V_{esc} I_a$

5. Perdas SUPLEMENTARES \Rightarrow 1% da potência nominal do motor.



● Potência elétrica (de entrada):

$$P_{ele} = V_t I_L$$

● Potência elétrica entregue ao rotor:

$$P_{int} = E_a I_a$$

● Potência mecânica (de saída):

$$P_{mec} = \tau_{mec} \omega = \tau_{ele} \omega$$

$$P_{mec} = E_a I_a - \text{Perdas no rotor}$$

● Rendimento:

$$\eta = \frac{P_{mec}}{P_{ele}} \times 100\% = \frac{\tau_{mec} \omega}{V_t I_L} \times 100\%$$

Ensaaios

1. Ensaio a vazio: \Rightarrow usado para determinar as perdas rotacionais do motor

$$\text{Perdas rotacionais} = E_{a_{vaz}} I_{a_{vaz}}$$

2. Ensaio de rotor bloqueado: \Rightarrow usado para determinar a resistência da armadura

$$R_a = \frac{V_t - \Delta V_{esc}}{I_{a_{nom}}}$$